

جدول ۱- خصوصيات هسته‌اي و واپاشي عناصر مزاحم و عنصر کم مقدار يَد (مرجع ۱)

ايزوتوپ هدف	درصد فراواني طبيعي	سطح مقطع حرارتي (ميلي بارن)	سطح مقطع رزنانس (ميلي بارن)	ايزوتوپ توليد شده	نيمه عمر (دقيقه)	انرژی گاما (keV)	شدت واپاشي (درصد)
²⁷ Al	۱۰۰	۲۲۴	۱۶۰	²⁸ Al	۲/۲۴	۱۷۷۹	۱۰۰
³⁷ Cl	۲۴/۲۳	۴۲۲	۲۹۰	³⁸ Cl	۳۷/۲۴	۱۶۴۲/۷	۳۱
⁵⁵ Mn	۱۰۰	۱۳۲۰۰	۱۳۹۰۰	⁵⁶ Mn	۲/۵۸ (ساعت)	۸۴۶/۸	۹۸/۸۷
²³ Na	۱۰۰	۵۱۳	۳۰۳	²⁴ Na	۱۴/۹۶ (ساعت)	۱۳۶۸/۶	۱۰۰
¹²⁷ I	۱۰۰	۴۰۴۰	۱۰۰۰۰۰	¹²⁸ I	۲۴/۹۹	۴۴۲/۹	۱۶/۹

رآکتور زياد است کپسول به تدريج مستهلک مي شود و به علت احتمال نشت B_FC در محل پرتو دهی نمونه، پس از مدتي کنار گذاشته مي شود؛ ولي مي توان از B_FC موجود در آن دوباره استفاده کرد.

۲-۲- آماده سازي نمونه ها و استانداردها

برای نشان دادن مزيت ENAA و همچنين کاهش ميزان آکتيويته ناخواسته حاصل از عناصر Na، Cl، Mn، محلولهاي NaCl و MnO خالص با غلظت هاي زير تهيه گرديد:

NaCl Na ۲۰۰۰ μgr/ml

Cl ۳۰۸۴ μgr/ml

MnO Mn ۵۰ μgr/ml

همچنين از KIO_۳ خالص برای تهيه محلول استاندارد يَد به غلظت ۴۰۰ μgr/ml استفاده شد. از اين محلولها به مقدار ۱۰۰ μl به وسيله ميكروپيپت روی كاغذ صافي چکانده و در دمای محيط خشک شد. برای نشان دادن برتري روش ENAA (در اندازه گيري يَد) نسبت به روش TNAA و همچنين مقايسه دقت اندازه گيري هر دو روش، چهار نمونه استاندارد از NIST^۷ و يك نمونه از کميسیون اتحاديه اروپا^۸ (به صورت پودر) به جرمهاي ۳۰۰ و ۵۰۰ ميلي گرم تهيه و برای پرتو دهی در پلاستيک تميز بسته بندي گرديد (جدول ۲).

زيست شناختي، به علت زياد بودن مقادير سدیم و کلر تجزيه مقادير خيلي کم (رَد) يَد به روش متداول TNAA^۵ امکان پذير نيست، ولي با بکارگيري نوترونهاي فراحارارتي و به روش ENAA^۶ حد آشکارسازي تقريباً پانزده برابر افزايش مي يابد و در نتيجه تجزيه مقادير جزبي يَد امکان پذير مي شود.

۲- روش کار و تجهيزات

۲-۱- انتخاب کپسول پرتو دهی

در اين تحقيق، به علت آکتيو شدن زياد کادميوم، از کاربرد بور (B_FC) به عنوان صافي نوترونهاي حرارتي استفاده شده است. کپسول نگهدارنده B_FC از جنس تفلون مطابق شکل (۱-الف) ساخته شده که شامل شش قطعه است (شکل ۱-ب): قطعه شماره ۲ داخل قطعه شماره ۱ قرار مي گيرد به طوري که فضاي خالي به پنهانی يك ميلي متر بين اين دو قطعه ايجاد مي شود. پس از ريختن B_FC در اين فضاي خالي انتهاي کپسول با قطعه شماره ۳ مسدود مي گردد. داخل قطعه شماره ۴ نيز به ضخامت يك ميلي متر B_FC ريخته مي شود و قطعه شماره ۵ روی آن سوار مي گردد. سپس تمام اتصالات با حرارت جوش داده شده و در آخر برای نگهداشتن نمونه و قطعات در پوش ۴ و ۵، از قطعه شماره ۶ که به شکل پيچ تهيه شده است استفاده مي شود (شکل الف).

با اين کپسول مي توان هر بار دو تا سه نمونه زيست شناختي و ۶ نمونه زمين شناختي را درون رآکتور پرتو دهی کرد. محدوديت ما در ساخت آن، به علت محدود بودن ابعاد محل پرتو دهی در قلب رآکتور است. در هر کپسول به طور متوسط تقريباً ۱/۴ گرم B_FC مصرف مي شود و هر کپسول را مي توان ۳۰ تا ۴۰ بار مورد استفاده قرار داد. چون حرکت اين کپسول در دستگاه انتقال نمونه به داخل

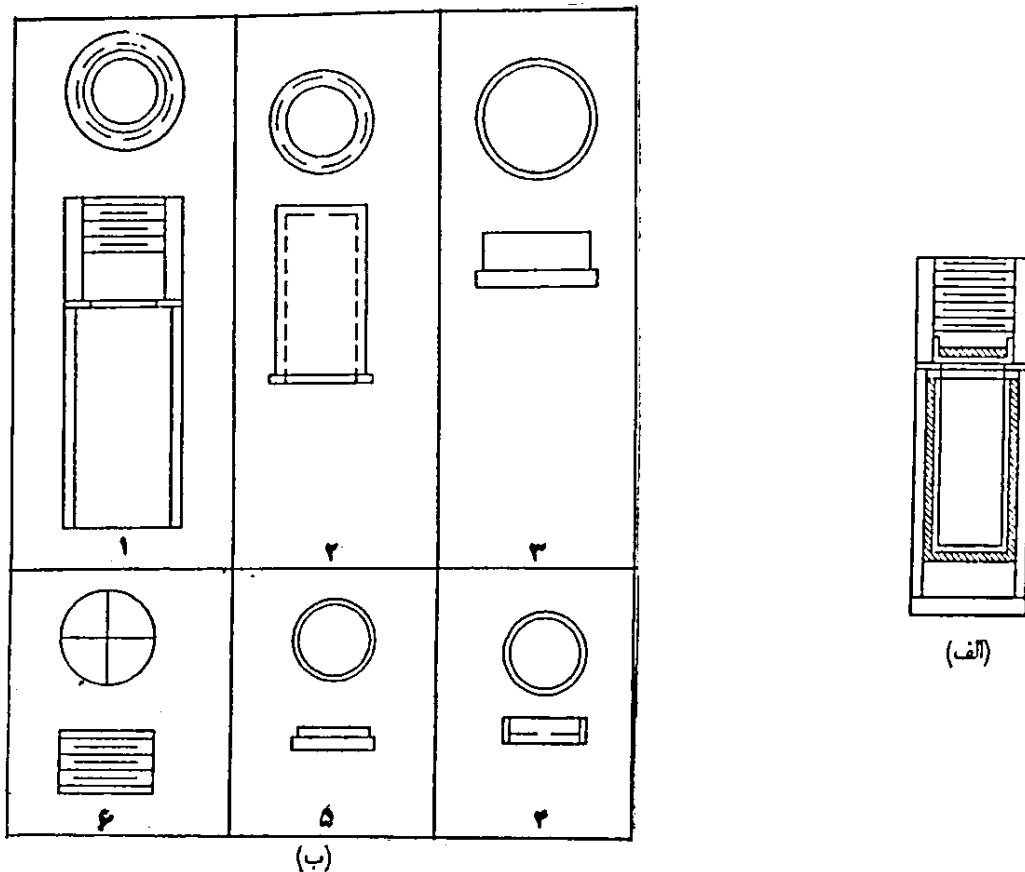
۵- Thermal Neutron Activation Analysis

۶- Epithermal Neutron Activation Analysis

۷- National Institute of Standards & Technology

۸- Commission of the European Communities

(Community Bureau of Reference-BCR)



شکل ۱- الف) کیسول پرتو دهی نمونه ب) قطعات کیسول

مقیاس ۱:۱

وضعیت حرارتی و فراحارتی به مدت پنج دقیقه پرتو دهی شده‌اند. پس از سه دقیقه واپاشی، طیف گامای هریک از آنها به مدت ده دقیقه گرفته شده است؛ نمونه‌های استاندارد یُد و استانداردهای دیگر نیز به مدت سه تا شش دقیقه پرتو دهی شده‌اند و به مدت ده دقیقه طیف گامای آنها نیز گرفته شده است.

از استاندارد یُد، که محلول ۴۰۰ ppm یُد حاصل از ترکیب KIO_3 می‌باشد، برای تعیین ضریب تصحیح^۹ استفاده شده است. طیف‌های گاما به وسیله آشکار ساز ^{202}Pb با بازدهی ۲۲٪ و توان سفیکیک ۲/۲ keV (در انرژی ^{60}Co ۱۰۳۳ MeV) و MCA^{۱۰} (۴۰۹۶ کاناله) گرفته شده‌اند. برای اندازه گیری غلظت استانداردها از روش مقایسه و نرم افزار SPAN که یکی از بهترین نرم افزارهای NAA می‌باشد استفاده شده است [۸].

جدول ۲- کد شناسایی و مشخصات استانداردهای استفاده شده

کد شناسایی	نام استاندارد	نام سازنده	کد سازنده
S1	پودر شیر بدون چربی	Non-Fat Milk Powder	NIST ۱۵۴۹
S2	پودر شیر دست نخورده	Whole Milk Powder	NIST ۸۳۳۵
S3	پودر شیر شیر	Skim Milk Powder	CEC ^۸ CRM-۶۳R
S4	گلون گندم	Wheat Gluten	NIST ۸۴۱۸
S5	سوس دزت	Corn Bran	NIST ۸۴۴۳

۲-۳- پرتو دهی و طیف گیری نمونه‌ها

نمونه‌های مجهول و استاندارد در رآکتور ^{235}U با شار نوترون حرارتی و فراحارتی $2.5 \times 10^{11} n/cm^2.s$ (بدون استفاده و با استفاده از کیسول B_2C) پرتو دهی شده‌اند ابتدا به منظور پی بردن به مزیت روش و به خاطر ساده بودن محاسبات، مدت پرتو دهی، زمان واپاشی، مدت شمارش (طیف گیری) و همچنین مقدار نمونه یکسان در نظر گرفته شده است. در این حالت، با اندازه گیری مساحت زیر پیک‌های گامای حاصل از ایزوتوپهای تولید شده (^{36}Cl ، ^{54}Mn ، ^{24}Na) می‌توان میزان کاهش آکتیویته را برای هر مورد بدست آورد. هر یک از نمونه‌های MnO و $NaCl$ در دو

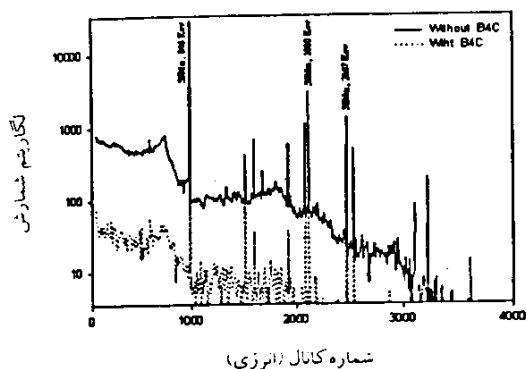
۹- Miniature Neutron Source Reactor

۱۰- Correction Factor

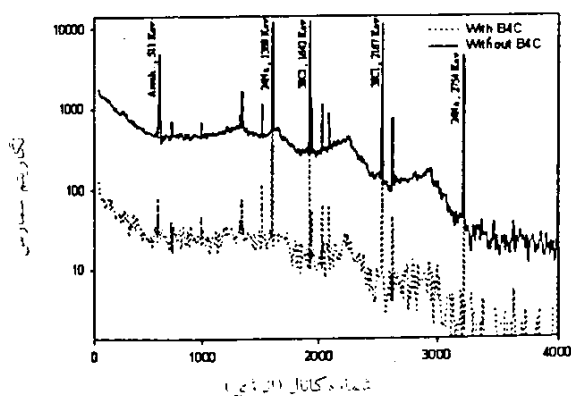
۱۱- Multichannel Analyzer

۳- نتایج

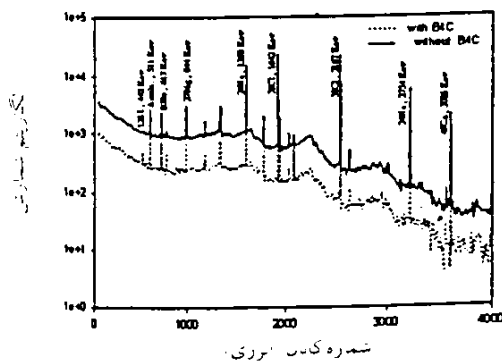
کاهش مقدار یُد در نمونه مزیت ENAA آشکار می‌گردد، و در مقادیر پایین تر (۰/۰۶۰ ppm و ۰/۰۲۶ ppm) امکان تجزیه و تحلیل یُد به روش TNAA از بین می‌رود. با بکارگیری این روش حد آشکار سازی برای اندازه گیری یُد در نمونه‌های زیست‌شناختی پانزده تا بیست برابر پایین تر می‌رود.



شکل ۲- طیف گامای ^{54}Mn با استفاده از کپسول B_4C و بدون استفاده از آن



شکل ۳- طیف گامای ^{24}Na و ^{35}Cl با استفاده از کپسول B_4C و بدون استفاده از آن



شکل ۴- طیف گامای نمونه استاندارد S^۳ (Skim Milk Powder) با استفاده از کپسول B_4C و بدون استفاده از آن

شکل‌های ۲ و ۳ و ۴ طیف‌های گامای نمونه‌های NaCl و MnO نمونه استاندارد شیر بدون چربی را بدون استفاده از کپسول B_4C و با استفاده از آن نشان می‌دهند. مساحت زیر پیک ایزوتوپهای ^{24}Na ، ^{35}Cl و ^{54}Mn ، با استفاده از نرم‌افزار SPAN بدست آمده است. مساحت زیر پیک برای انرژی ۸۴۶/۸ keV (^{54}Mn) با شمارش ۸۵۶۱۵ مشخص شده است در حالی که در همان شرایط و با استفاده از کپسول B_4C شمارش ۴۷۹۲ بدست آمده است که کاهش آکتیویته را حدود هجده برابر نشان می‌دهد. کاهش آکتیویته برای انرژیهای سایر ایزوتوپها، یعنی ^{24}Na ، ^{35}Cl و ^{54}Mn نیز اندازه گیری شده و نتایج در جدول ۳ درج گردیده است. به طوری که مشاهده می‌شود کاهش آکتیویته در موارد ^{54}Mn ، ^{35}Cl و ^{24}Na به مراتب بیشتر از ^{54}Mn می‌باشد. این موضوع از سطح مقطع بالای جذب در رزنانس فرا حرارتی ^{127}I ناشی می‌شود و مزیت روش ENAA را برای آشکار سازی یُد نشان می‌دهد. این روش را برای هر عنصری که سطح مقطع جذب آن در این رزنانس نسبت به سطح مقطع جذب حرارتی بیشتر باشد می‌توان بکار برد. جدول ۴ برخی از این عناصر همراه با ایزوتوپهای مربوط به آنها و سطح مقطع جذبشان ارائه شده است.

برای نشان دادن حساسیت روش ENAA در مقایسه با TNAA و همچنین دقت اندازه گیری، پنج نمونه استاندارد به دو روش پرتو دهی شده‌اند. در شکل ۴ طیف گامای یکی از استانداردها (شیر بدون چربی) که با این دو روش پرتو دهی شده ارائه گردیده است. به طوری که در شکل مشاهده می‌شود پیوستاری کامپتون در روش ENAA به میزان قابل ملاحظه‌ای پایین تر از روش TNAA می‌باشد و پیک مربوط به ^{127}I با انرژی ۴۴۳ keV با ارتفاع بیشتری ظاهر گردیده است. به علت کاهش آکتیویته در روش ENAA ما توانسته‌ایم نمونه‌ها را در این روش به مدت سه دقیقه پرتو دهی کنیم در صورتی که در روش TNAA به علت وجود آکتیویته بالا نمی‌توان آنها را بیش از یک دقیقه پرتو دهی کرد. طیف‌های حاصل از نمونه‌های استاندارد به وسیله نرم‌افزار SPAN و با استفاده از محلول استاندارد یُد به روش مقایسه تجزیه و تحلیل و نتایج حاصل در جدول ۵ ارائه شده است. به طوری که در جدول مشاهده می‌شود با

جدول ۳- مساحت زیر پیک‌های گامای حاصل از عناصر مزاحم در دو روش و کاهش آکتیویته آنها

نسبت کاهش آکتیویته	مساحت زیر پیک به روش ENAA	مساحت زیر پیک به روش INAA	درصد شدت واپاشی	انرژی گاما (keV)	رادوایزوتوپ
۱۷/۹	۴۷۹۲	۸۵۶۱۵	۹۸/۹	۸۴۶/۸	^{۵۱} Mn
۱۸/۲	۵۵۶	۱۰۱۵۲	۲۷/۲	۱۸۱۰/۷	
۱۷/۳	۲۷۷	۴۷۸۵	۱۴/۳	۲۱۱۳/۰	
۹/۰	۱۹۴۸	۱۷۵۷۳	۳۱/۰	۱۶۴۲/۷	^{۳۸} Cl
۸/۹	۲۰۵۱	۱۸۲۳۱	۴۲/۰	۲۱۶۷/۷	
۲۰/۲	۱۸۶۹	۳۷۷۷۲	۱۰۰/۰	۱۳۶۸/۶	^{۲۴} Na
۱۹/۲	۹۳۸	۱۸۲۵۳	۹۹/۹۴	۲۷۵۴/۰	
۳/۶	۱۵/۵۷	۵۴۲۳۹	۱۶/۹	۴۳۲/۹	^{۱۳۸} I
۳/۳	۱۱۱۸	۳۷۲۰	۱/۶	۵۲۶/۶	

جدول ۴- برخی از عناصری که روش ENAA برای آنها مزیت دارد (مرجع ۱)

^{۲۳۸} U	^{۱۹۷} Au	^{۱۸۶} W	^{۱۷۰} Er	^{۱۶۰} Gd	^{۱۵۰} Nd	^{۱۲۴} Sn	^{۱۱۵} In	^{۱۰۸} Pd	^{۱۰۰} Mo	^{۷۹} Br	^{۶۹} Ga	ایزوتوپ هدف
^{۲۳۹} U	^{۱۹۸} Au	^{۱۸۷} W	^{۱۷۱} Er	^{۱۶۱} Gd	^{۱۵۱} Nd	^{۱۲۵m} Sn	^{۱۱۶m} In	^{۱۰۹} Pd	^{۱۰۱} Mo	^{۸۰m} Br	^{۷۰} Ga	ایزوتوپ محصول
۲/۷۵	۹۸/۶۵	۳۸/۷	۸/۸۵	۱/۵۱	۰/۹۱	۰/۱۱۶	۱۵۷/۰	۸/۷۷	۰/۲۰	۲/۴	۱/۶۸	سطح مقطع حرارتی (بارن)
۲۸۴/۰	۱۵۵۰/۰	۵۳۰	۳۹/۱	۵/۷۸	۱۱/۲	۶/۹۷	۲۶۳۸/۰	۲۵۳/۰	۳/۷۷	۲۲/۰	۱۵/۶	سطح مقطع رزونانس (بارن)
۲۳/۴۷m	۲/۷d	۲۳/۹h	۷/۵۲h	۳/۶۶m	۱۲/۴۴m	۹/۵۳m	۵۴/۱۵m	۱۳/۷h	۱۴/۶m	۴/۴h	۲۷/۱۵m	نیمه عمر محصول

د - روز h - ساعت m - دقیقه

جدول ۵- نتایج تجزیه و تحلیل در پنج نمونه استاندارد با دو روش ENAA و INAA

انحراف از مقادیر گواهی شده (درصد)	مقادیر گواهی شده (ppm)		مقادیر اندازه گیری شده (ppm)		کد استاندارد	نام استاندارد
	روش ENAA	روش INAA	روش ENAA	روش INAA		
۱۶	۲۸	۲/۳ ± ۰/۴	۲/۶۸ ± ۰/۱۱	۲/۹۴ ± ۰/۳۵	۸۴۴۵	Whole Milk Powder
۶	۵	۳/۳۸ ± ۰/۰۲	۳/۵۸ ± ۰/۱۴	۳/۲۱ ± ۰/۳۸	۱۵۲۹	Non-Fat Milk Powder
۱۲	۳۸	۰/۸۱ ± ۰/۰۵	۰/۹۱ ± ۰/۱۰	۰/۵۰۴ ± ۰/۲۰۲	CRM-۶۳R	Skim Milk Powder
۱۲۱	-	۰/۰۶۰ ± ۰/۰۱۳	۰/۱۳۳ ± ۰/۰۸۶	نامعین	۸۴۱۸	Wheat Gluten
۳/۸	-	۰/۰۲۶ ± ۰/۰۰۶	۰/۰۲۷ ± ۰/۰۱۴	نامعین	۸۴۴۳	Corn Bran

۴- تشکر و قدردانی

نماییم. از آقایان احمد مقدس و محمد رستمی که در طراحی و ساخت کپسول پرتو دهی نهایت دقت و حوصله را به خرج داده‌اند سپاس گزاریم.

در پایان بر خود لازم می‌دانیم که از سرپرستی بخش رآکتور مینیاتوری و کلیه همکارانی که در این کار ما را یاری کرده‌اند تشکر

References

1. IAEA - TEC.DOC - 564, Practical Aspects of Operating A Neutron Activation Analysis Laboratory.
2. S. LANDSBERGER, S. PESHEV, Compton Suppression Neutron Activation Analysis Past, Present and Future , Journal of Radioanalytical & Nuclear Chemistry, Vol. 202, No. 2, 201-224 , (1996).
3. N.popt, E. Mauerhoter , H.O. Denschlag , Test of Multielement Analysis of Bone Samples Using Instrumental Neutron Activation Analysis (INAA) and Anti Compton Spectrometry , Journal of Radioanalytical & Nuclear Chemistry , Vol. 224 , Nos. 1-2 , 103-107 , (1997).
4. W. D. EHMANN, J. BRUCKNER , D.M MCKOWN , Epithermal NAA Using Boron Carbide Irradiation Filter , Journal of Radioanalytical Chemistry , Vol. 57 No. 2 , 491-502 , (1980).
5. S. J. PARRY , Detection Limits in Epithermal Neutron Activation Analysis of Geological Material , Journal of Radioanalytical Chemistry , Vol. 59 No. 2 , 423-427 , (1980).
6. M. M. Mason, V. L. Spate, C. K. Baskett, C.L. Reams, Determination of Iodine in Urine, Using ENAA , J. of Ra. and N. Ch. , Vol. 195 , No. 1 , 57-65 , (1995).
7. V.L. Spate, J. S. Morris, S. Chickos, C. K. Baskett & ect., Determination of Iodine in Human Nails Via ENAA, J. of Ra. and N. Ch. , Vol. 195 No. 1 , 21-30 (1995).
8. M. Blaauw , Vosorio Fernandez , etc., IAEA, γ -ray Spectra Testing of Spectrum Analysis Software, Nuclear Instruments & Methods in Physics Research, A. 387 , 416-432 , (1997).

THE USE OF EPITHERMAL NEUTRON ACTIVATION ANALYSIS

A. Ahmadi Niar, R. Shirini, A. Tavakoli

MNSR Department, Esfahan Fuel Production and Research Center, AEOI, P.O. Box

Abstract

Trace Iodine measurement in Biological samples has been carried out using Epithermal Neutron Activation Analysis. In this work B₄C capsule were used to the thermal neutrons filtration and the compton suppression.

This filtration caused that the activity of ⁵⁶Mn , ²⁴Na , ³⁸Cl to be reduced as much as 18 , 20 and 9 times respectively. The measurement of Iodine in Five standard reference materials were analyzed and compared.